



УДК 577.112.088.3

## МУТАНТНЫЕ OmpF-ПОРИНЫ *Yersinia pseudotuberculosis* С ДЕЛЕЦИЯМИ НАРУЖНЫХ ПЕТЕЛЬ: СОЗДАНИЕ ГЕНЕТИЧЕСКИХ КОНСТРУКЦИЙ, ЭКСПРЕССИЯ, ВЫДЕЛЕНИЕ, РЕФОЛДИНГ

© 2012 г. О. В. Сидорова\*, М. П. Исаева, В. А. Хоменко, О. Ю. Портнягина,  
Г. Н. Лихацкая, Н. Ю. Ким, О. Д. Новикова, Д. К. Чистюлин, Т. Ф. Соловьева

Учреждение ДВО РАН Тихоокеанский институт биоорганической химии,  
690022 Владивосток, просп. 100-летия Владивостока, 159

Поступила в редакцию 20.06.2011 г. Принята к печати 01.07.2011 г.

С помощью сайт-направленного мутагенеза рекомбинантной плазмиды, несущей ген *ompF Yersinia pseudotuberculosis*, получены гены мутантных OmpF-поринов с делециями наружных петель L1, L6 и L8. Мутантные белки синтезировали в клетках штамма Rosetta *Escherichia coli* (Novagen, США) и выделяли из телец включения. В результате рефолдинга, проведенного при помощи диализа и ионообменной хроматографии, получили олигомерные формы мутантных белков. Показано, что мутантные белки отличаются от полноструктурного рекомбинантного порина как вторичной, так и третичной структурой. С помощью техники бислойных липидных мембран установлено, что отсутствие петель L1, L6 и L8 не влияет на уровень наиболее вероятной проводимости каналов OmpF-порина псевдотуберкулезного микробы. Согласно данным иммуноблоттинга и ИФА, отсутствие петель L1, L6 и L8 заметно влияет на антигенную структуру мутантных поринов.

**Ключевые слова:** *Yersinia pseudotuberculosis*, OmpF порин, рекомбинантные белки, deleции наружных петель.

### ВВЕДЕНИЕ

Порообразующие белки (порины) наружной мембранны (НМ) грамотрицательных бактерий принадлежат к классу β-структурных интегральных мембранных белков, образующих гидрофильные поры для пассивной диффузии низкомолекулярных веществ. В нативной мемbrane они существуют в виде гомотримеров, мономерная единица которых представляет собой образованный антипараллельными β-тяжами цилиндр, окружающий водонаполненный канал. Соединяющие β-тяжи участки полипептидной цепи белка, так называемые петли, достаточно коротки, если расположены со стороны перiplазмы; значительно более длинные петли, находящиеся с внешней стороны мембранны, формируют в пространстве более сложные структуры. Показано, что участки, соответствующие наружным петлям поринов, совпадают с гидрофильными максимумами аминокислотной последовательности белка и формируют антигенные детерминанты [1]. Кроме того, по мнению ряда

следователей, изменение конформации петель L3, L5, L7 и L8 в значительной степени влияет на эффективность диффузии через поры [2], а петля L2 играет важную роль в стабилизации пространственной структуры тримера порина в НМ [1]. Тем не менее, экспериментальные данные о взаимосвязи между тонкой структурой белка и его биологическими свойствами к настоящему времени накоплены лишь для ограниченного числа порообразующих белков [3]. В связи с этим, определение структурно-функциональной роли некоторых наружных петель OmpF-порина *Y. pseudotuberculosis* может существенно дополнить представление об участии этого белка во взаимоотношениях бактерий псевдотуберкулеза с макроорганизмом.

Целью данного исследования явилась разработка методов получения мутантных форм OmpF порина из НМ *Y. pseudotuberculosis* с делециями некоторых наружных петель, а также характеристика пространственной, антигенной структуры и порообразующей активности полученных рекомбинантных белков.

### РЕЗУЛЬТАТЫ И ОБСУЖДЕНИЕ

**Сайт-направленный мутагенез гена OmpF-порина.** Для получения мутантных белков с делециями петель L1, L6 и L8 был проведен сайт-направленный мутагенез рекомбинантной плазми-

Сокращения: PMSF – фенилметилсульфонилфторид, DOC – дезоксиходат натрия, IPTG – изопропил-β-D-тиогалактопиранозид, Zw3-14 – Zwittergent 3-14 (*N*-тетрадецил-*N,N*-диметил-3-аммоний-1-пропансульфонат), БЛМ – бислойная липидная мембрана НМ – наружная мембрана, РБ – рекомбинантный белок, ТВ – тельца включения.

\* Автор для переписки: тел.: +7 (4232) 31-07-19; факс: +7 (4232) 31-40-50; эл. почта: olga\_ximik@mail.ru.

Таблица 1. Характеристика праймеров, использованных в работе

Название	Последовательность (5'-3')	Назначение
T7_prom	TAATACGACTCACTATAGGG	Секвенирующие праймеры
T7_term	GCTAGTTATTGCTCAGCGG	
Del_L1_for	GTCACTCTTCTCCGATGGCGACAAGTC	Делеция петли L1
Del_L1_rev	GAECTGTGCCATCGGAGAAAGAGTGAC	
Del_L6_for	CTCAGAACCTGACTGCGAACAAAGACTCG	Делеция петли L6
Del_L6_rev	CGAGTCTTGTTCGCAGTCAGGTTCTGAG	
Del_L8_rev	CAACCTGTTGGACGTTGTTGCTGTTGGC	Делеция петли L8
Del_L8_rev	GCCAACAGCAACACGTCCAACAGGTTG	

ды pET41a(+)-m55, несущей *ompF*-ген. Эта плазмида была сконструирована нами ранее для экспрессии зрелой формы OmpF-порина [4]. С целью получения метилированной ДНК исходная плазмида была проведена через клетки штамма *E. coli* XL-1 Blue. Для удаления наружных петель L1, L6 и L8 были разработаны мутагенные олигонуклеотидные праймеры (табл. 1), в которых отсутствовали соответствующие участки. Сайт-направленный мутагенез проводили, используя полимеразу Pfu Ultra II (Stratagene, США), в соответствии с алгоритмом, предложенным в работе [5]. Полученную после амплификации смесь мутантных и исходных плазмид обработали эндонуклеазой рестрикции *Dpn*I (Fermentas, Литва) для расщепления метилированных и полуметилированных плазмидных ДНК. Затем этой смесью трансформировали клетки штамма *E. coli* Rosetta. С целью отбора колоний, содержащих "функциональные" мутантные плазмида,

была проведена аналитическая экспрессия белков в 30 мл среды. Результаты экспрессии оценивали с помощью SDS-ПААГ-электрофореза (рис. 1, в качестве контроля был использован полноструктурный мономер рекомбинантного OmpF-порина). Как видно из рисунка, белок экспрессировался в двух формах, одна из которых имеет подвижность несколько большую, нежели у контрольного белка. Мы предположили, что именно эта полипептидная зона соответствует порину с целевыми мутациями.

Колонии 1 и 2 (рис. 1a), а также колонии 2 и 4–8 (рис. 1b), экспрессирующие мутантные белки, были отобраны для амплификации и секвенирования *ompF*-гена. По результатам секвенирования были отобраны плазмида, в которых присутствовали делеции соответствующих петель и сохранялась целостность остальной части белоккодирующими последовательности *ompF*. Таким образом,

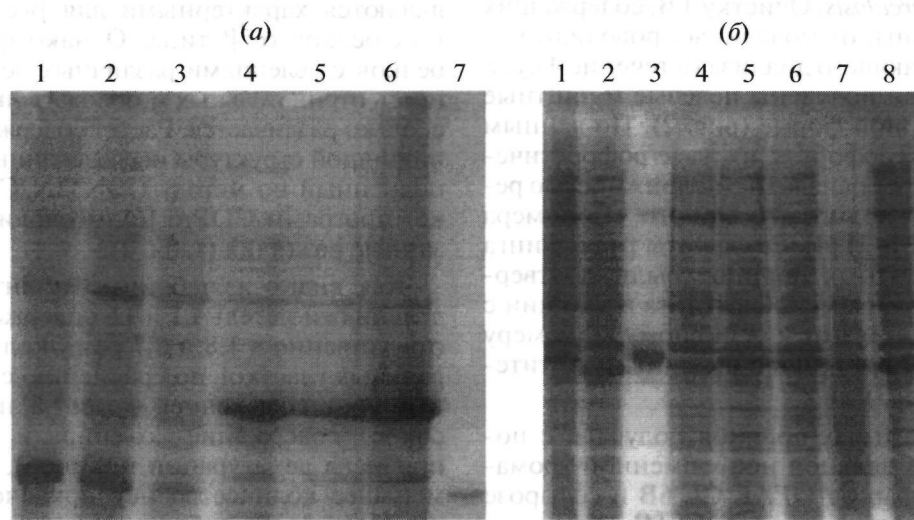
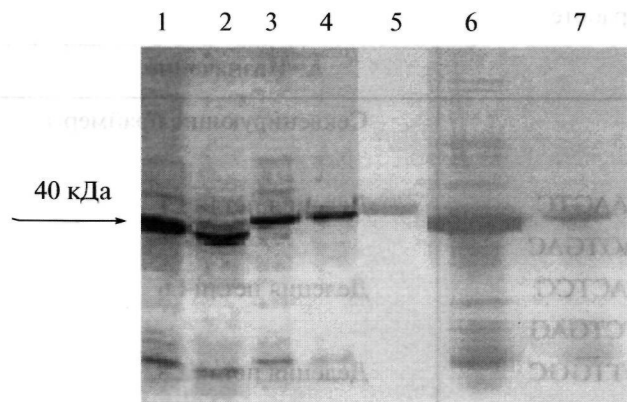


Рис. 1. SDS-ПААГ-электрофоретический анализ экспрессии мутантных OmpF-поринов с делециями петель: L1 (a, 1–6), L8 (b, 1, 2) и L6 (b, 4–8). Дорожки 7 (a) и 3 (b) – мономер полноструктурного OmpF порина *Y. pseudotuberculosis* (контроль).

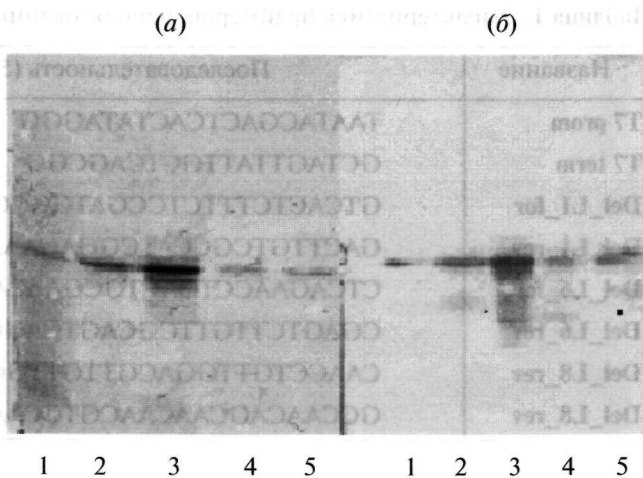


**Рис. 2.** Электрофорограмма мутантных белков: **del1** (1, 2) и **del6** (3, 4) непрогретых (1, 3) и прогретых при 100°C (2, 4); 5 - рекомбинантный мономер OmpF-порина *Y. pseudotuberculosis* РБ-1 (контроль, экспрессия в штамме BL21 (DE3) *E. coli*); 6, 7 - **del8** (непрогретый и прогретый при 100°C соответственно).

установлено, что отобранные “функциональные” колонии продуцируют целевые мутантные белки.

**Выделение и рефолдинг мутантных форм рекомбинантного OmpF порина *Y. pseudotuberculosis*.** Выделение белков с делециями петель L1, L6 и L8 (далее – образцы **del1**, **del6** и **del8**) проводили согласно процедуре, разработанной для получения полноструктурного рекомбинантного OmpF порина [4] за исключением того, что в случае мутантных белков использовали удвоенное количество лизоцима и ДНКазы. В качестве контроля параллельно с мутантными белками выделяли и полноструктурный рекомбинантный OmpF-порин *Y. pseudotuberculosis*. Очистку ТВ, содержащих мутантные порины, от мочевины проводили методом исчерпывающего дialisса (в течение 4 сут). В результате были получены целевые мутантные белки в мономерной форме (рис. 2). По данным SDS-ПААГ-электрофореза, их электрофоретические подвижности совпадали с подвижностью рекомбинантного полноструктурного мономера OmpF-порина (РБ-1) [4]. Результаты рефолдинга мономеров мутантных поринов были подтверждены с помощью иммуноблоттинга в реакции с кроличьими антителами к нативному мономеру OmpF-порина (**OmpF**) [6] и с мышьяными антителами к РБ-1 (рис. 3).

Тримеры мутантных поринов получали с помощью последовательной ионообменной хроматографии: на сепарозе DEAE CL 6B и сепарозе CM CL 4B, как описано в работе [4]. Фракции, полученные после двух циклов хроматографии, содержали олигомерную форму (тримеры) рекомбинантного порина. Результаты сборки пори-



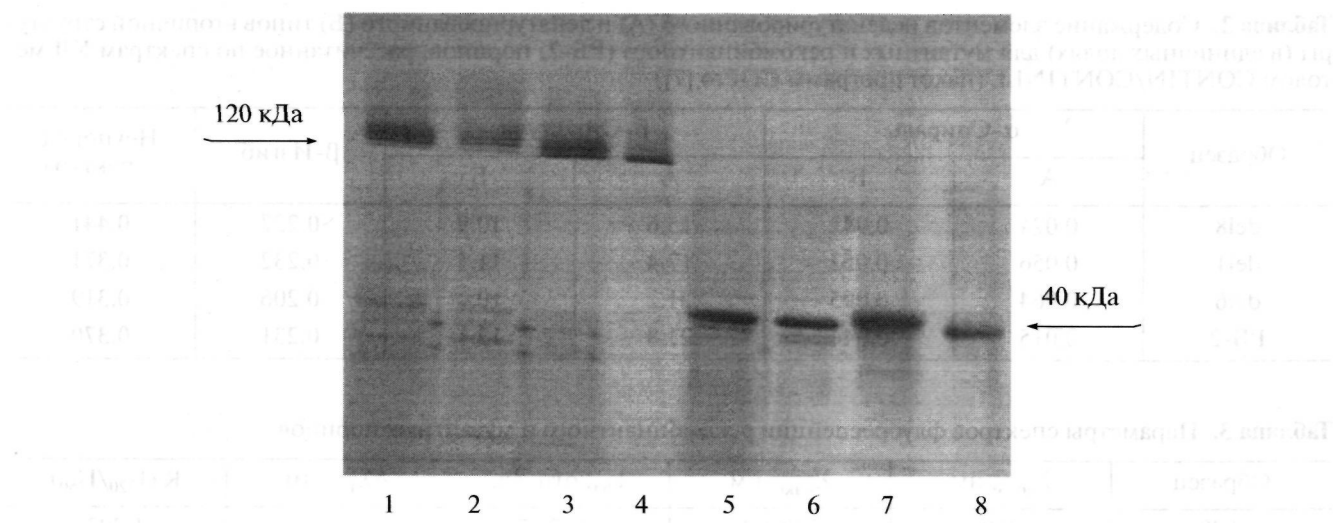
**Рис. 3.** Иммуноблоттинг белковых фракций: **del1** (1 $a$ ,  $\beta$ ), **del6** (2 $a$ ,  $\beta$ ), **del8** (4 $a$ ,  $\beta$ ), нативного мономера OmpF-порина (3 $a$ ,  $\beta$ ) и полноструктурного рекомбинантного мономера OmpF-порина РБ-1 (5 $a$ ,  $\beta$ ) с антителами кролика, полученными при их иммунизации OmpF ( $a$ ), и с антителами мыши, полученными при иммунизации РБ-1 ( $\beta$ ).

на были подтверждены данными SDS-ПААГ-электрофореза (рис. 4).

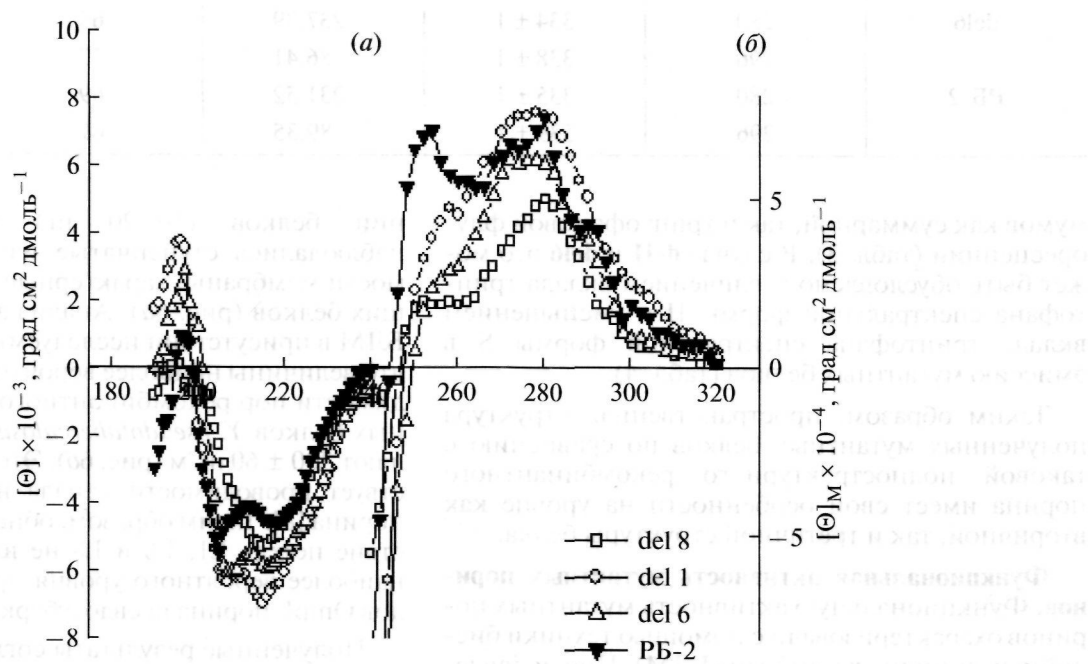
**Пространственная структура мутантных поринов. Круговой дихроизм.** Для спектров КД мутантных поринов в ароматической области спектра (рис. 5 $\delta$ ) по сравнению со спектром полноструктурного рекомбинантного тримера (РБ-2) наблюдается более низкая амплитуда (**del6** и **del8**) и меньшая степень разрешенности (**del1**, **del6** и **del8**) полос, что указывает на более рыхлую третичную структуру тримеров мутантных белков.

Спектры КД образцов мутантных поринов в области поглощения пептидных связей (рис. 5 $a$ ) являются характерными для  $\beta$ -структурированных белков  $\alpha+\beta$ -типа. Однако форма спектров белков с делециями различных петель (интенсивность отрицательных и положительных полос) несколько различается. Расчет содержания элементов вторичной структуры исследованных поринов, выполненный по методу CONTIN/CONTINLL (пакет программ CDPro [6], позволил выявить указанные различия (табл. 2).

Как видно из таблицы, мутантные порины с делециями петель L1 и L6 содержат большее (соответственно в 1.8 и 2.7 раза) количество  $\alpha$ -спиральных участков по сравнению с РБ-2. Мутантный порин с делецией петли L6, несмотря на высокое содержание  $\alpha$ -спирали (характерного признака денатурации поринов), содержит наименьшее количество неупорядоченной структуры. Именно этот образец порина имеет сходное с РБ-2 соотношение двух типов  $\beta$ -структур (β денин./β неденин.): 0.5 и 0.55 соответственно. Для других мутантных белков (**del1** и **del8**) эти соотно-



**Рис. 4.** Электрофорограмма мутантных белков **del1** (1, 5), **del6** (2, 6) и **del8** (3, 7) в тримерной (1, 2, 3) и мономерной (до ионообменной хроматографии) форме (5, 6, 7); 4, 8 – полноструктурный рекомбинантный OmpF-порин РБ-2 в тримерной и мономерной форме соответственно (контроли).



**Рис. 5.** Спектры КД рекомбинантного и мутантных тримеров порина *Y. pseudotuberculosis* в пептидной (а) и ароматической (б) областях.

шения имеют большую величину и равны, соответственно, 0.66 и 0.70. Таким образом, отсутствие той или иной наружной петли влияет на соотношение элементов регулярной вторичной структуры порина.

**Собственная белковая флуоресценция.** Спектры суммарной эмиссии тримеров исследованных поринов и их аппроксимация спектральными формами излучения остатков триптофана и тирозина (табл. 3 и 4) указывают на значительные различия

в микроокружении ароматических флуорофоров. Отсутствие петли **L8** в наименьшей степени приводит к изменениям в третичной структуре рекомбинантного тримера. В то же время в случае мутантных поринов с делециями петель **L1** и **L6** по сравнению с **РБ-2** наблюдается существенное увеличение доли триптофановых остатков спектральной формы I (в 1.8 и 2.2 раза соответственно). Тем не менее, все мутантные белки, подобно **РБ-2**, имеют длинноволновое положение макси-

**Таблица 2.** Содержание элементов неденатурированного (А) и денатурированного (Б) типов вторичной структуры (в единичных долях) для мутантных и рекомбинантного (РБ-2) поринов, рассчитанное по спектрам КД методом CONTIN/CONTINLL (пакет программ CDPro [7])

Образец	α-Спираль		β-Структура		β-Изгиб	Неупоряд структура
	А	Б	А	Б		
del8	0.024	0.042	15.6	10.9	0.227	0.441
del1	0.056	0.052	17.4	11.5	0.232	0.371
del6	0.064	0.095	21.2	10.4	0.206	0.319
РБ-2	0.015	0.044	21.8	12.1	0.231	0.370

**Таблица 3.** Параметры спектров флуоресценции рекомбинантного и мутантных поринов

Образец	$\lambda_{\text{возб}}$ , нм	$\lambda_{\text{макс}}$ , нм	$I_{\text{фл}}$ , отн. ед.	$\Delta\lambda_{1/2}$ , нм	$R (I_{320}/I_{350})$
del8	280	$329 \pm 1$	187.17	63	1.293
	296	$337 \pm 1$	67.83	61	1.048
del1	280	$333 \pm 1$	265.43	65	1.239
	296	$338 \pm 1$	99.78	57	1.055
del6	280	$334 \pm 1$	237.39	65	1.231
	296	$338 \pm 1$	86.41	57	1.055
РБ-2	280	$335 \pm 1$	231.52	69	1.170
	296	$339 \pm 1$	89.35	61	0.996

мумов как суммарной, так и триптофановой флуоресценции (табл. 3). В случае **del1** и **del6** это может быть обусловлено увеличением вклада триптофана спектральной формы II и уменьшением вклада триптофана спектральной формы S в эмиссию мутантных белков (табл. 4).

Таким образом, пространственная структура полученных мутантных белков по сравнению с таковой полноструктурного рекомбинантного порина имеет свои особенности на уровне как вторичной, так и третичной структуры белка.

**Функциональная активность мутантных поринов.** Функциональную активность мутантных поринов охарактеризовали с помощью техники бислойных липидных мембран (БЛМ). При добавле-

нии белков (10–20 нг) в водную фазу наблюдалась ступенчатые изменения проводимости мембранны, характерные для порообразующих белков (рис. 6а). Анализ записей тока через БЛМ в присутствии исследуемых белков показал, что величины наиболее вероятного уровня проводимости пор рекомбинантного порина и мутантных белков *Y. pseudotuberculosis* близки и составляют  $300 \pm 60$  пСм (рис. 6б). Это значение соответствует проводимости канала нативного тримера порина [8]. Таким образом, обнаружено, что отсутствие петель L1, L6 и L8 не влияет на величину наиболее вероятного уровня проводимости каналов OmpF порина псевдотуберкулезного микроба.

Полученные результаты согласуются с литературными данными. Ранее для мутантов OmpF порина *E. coli* с делециями внешних петель, было показано, что отсутствие одной из петель не влияет на эффективность встраивания мутантных белков в БЛМ [9]. Кроме того, мутации не оказывают существенного влияния на потенциалзависимость OmpF, а значения критического напряжения для всех мутантов не обнаруживают существенного различия с поринами дикого типа.

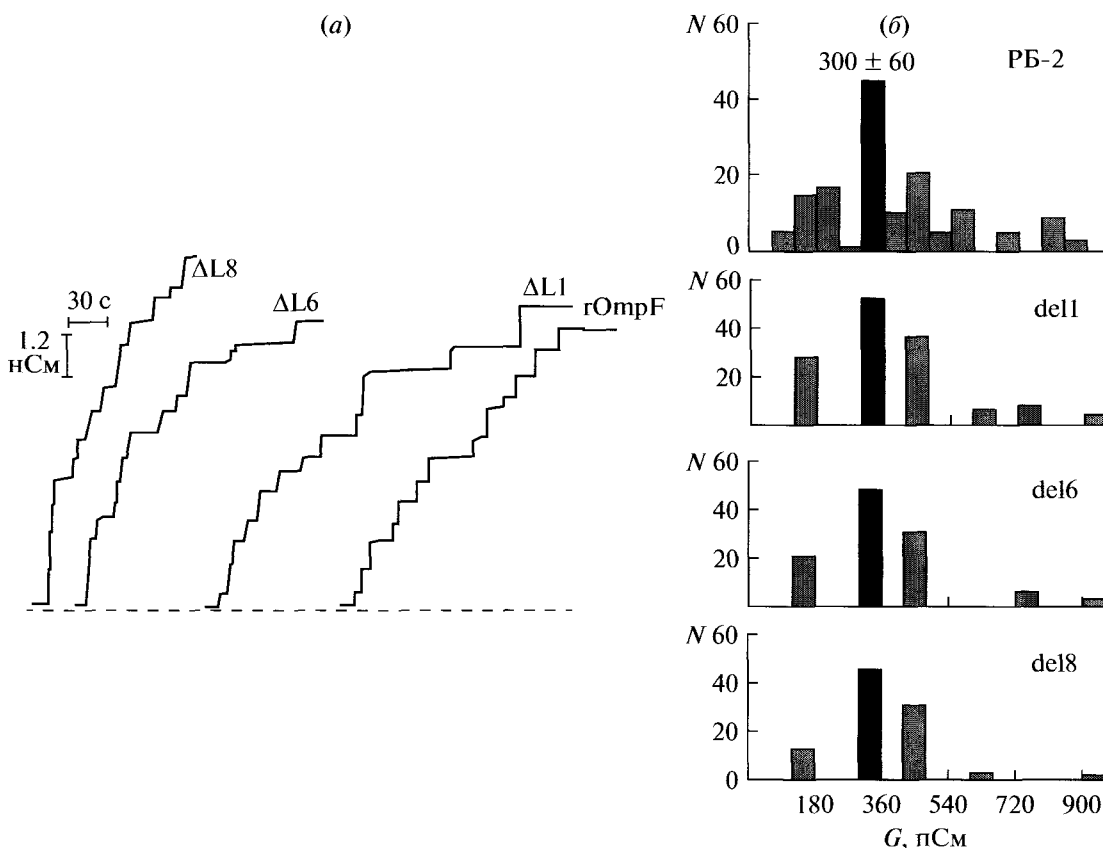
**Иммунохимическая характеристика мутантных поринов.** Антигенная структура мутантных белков была охарактеризована с помощью ИФА.

Обнаружено, что мутантные порины с делециями наружных петель взаимодействуют со специфическими антителами к мономерам полно-

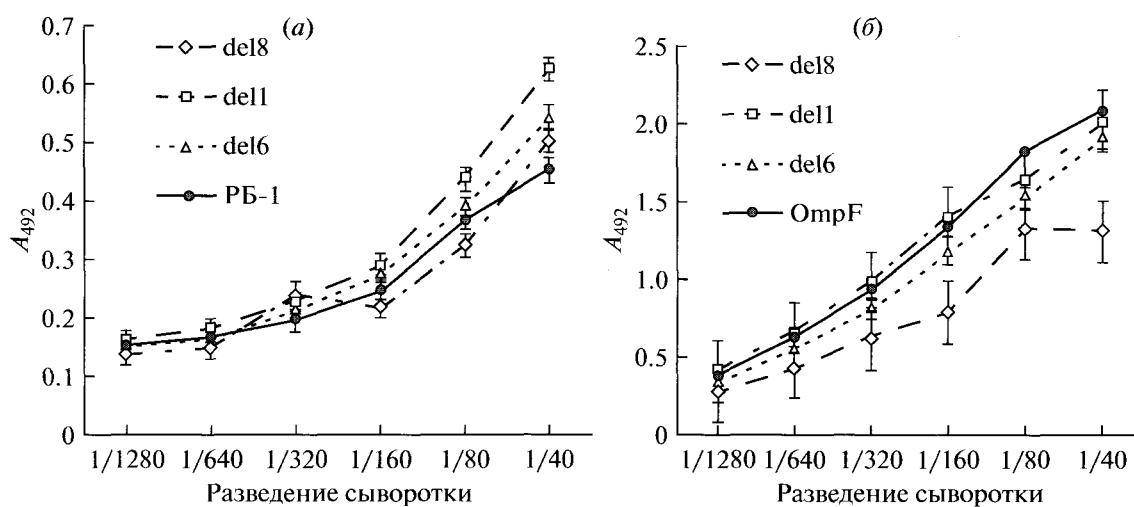
**Таблица 4.** Расчет содержания (в единичных долях) остатков триптофана из спектра флуоресценции рекомбинантного и мутантных поринов (при возбуждении 296 нм)

Образец	S*	I	II	III
del8	0.102	0.258	0.285	0.355
del1	0.000	0.361	0.443	0.196
del6	0.004	0.445	0.358	0.187
РБ-2	0.099	0.201	0.269	0.431

\* $\lambda_{\text{max}}$  S-формы = 315–317 нм;  $\lambda_{\text{max}}$  формы I = 330–332 нм;  
 $\lambda_{\text{max}}$  формы II = 340–343 нм,  $\lambda_{\text{max}}$  формы III = 350–353 нм.



**Рис. 6.** Запись тока через БЛМ (а) и гистограммы уровней проводимости БЛМ (б) в присутствии полноструктурного рекомбинантного ОмрF-порина (РБ-2) и его мутантных форм. По оси ординат:  $N$  – число каналов; по оси абсцисс:  $G$  – проводимость каналов в пСм.



**Рис. 7.** Взаимодействие мутантных поринов со специфическими антителами к полноструктурному рекомбинантному РБ-1 (а) и к нативному порину OmpF в мономерной форме (б).

структурного рекомбинантного и нативного OmpF поринов (рис. 7). Результаты реакции связывания мутантных белков и мономера полноструктурного рекомбинантного порина (РБ-1) с антисы-

вороткой к последнему аналогичны (рис. 7а). Это свидетельствует о том, что участки последовательности порина, соответствующие наружным петлям L8, L1, L6, не участвуют в формировании

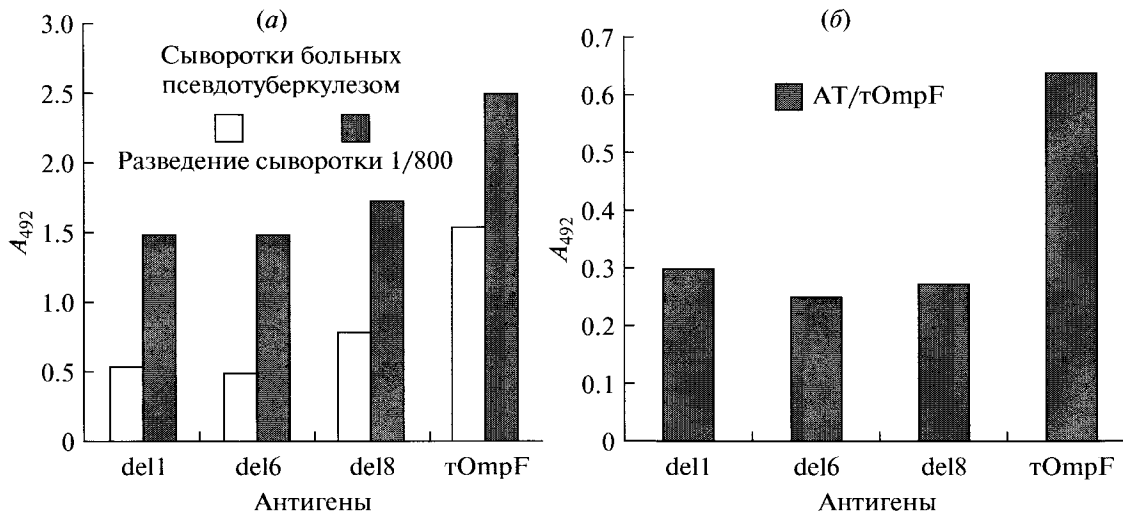


Рис. 8. Взаимодействие нативного (tOmpF) и мутантных тримеров порина с сыворотками крови больных псевдотуберкулезом (а) и с иммунными сыворотками кроликов (б).

антигенных детерминант РБ-1. Подобная картина наблюдается и при взаимодействии мутантных поринов **del1** и **del6** с антителами к нативному мономеру OmpF порина (**OmpF**) (рис. 7б). Напротив, белок **del8** взаимодействует с этими антителами на 30–40% менее эффективно.

Можно предположить, что структура антигенных детерминант рекомбинантного и нативного мономеров порина имеет лишь частичное соответствие за счет недостаточно сформированных (в случае рекомбинантного белка) конформационных детерминант, образующихся в результате сближения отдельных участков молекулы в процессе сборки третичной структуры белка. Полученный результат может свидетельствовать о том, что участки последовательности белка, соответствующие петле **L8**, входят в состав конформационных антигенных детерминант нативного мономера порина.

Для выяснения того, насколько антигенная структура полученных мутантных белков отличается от таковой для нативного тримера порина (**tOmpF**), мы использовали белки **del1**, **del6** и **del8** в качестве антигенов в реакции связывания со специфическими антителами кроликов, иммунизированных **tOmpF**, и для обнаружения антител к порину в сыворотках больных. Известно, что неспецифические порины НМ грамотрицательных бактерий относятся к высоко иммуногенным белкам, причем высокий уровень антител к ним наблюдается как при искусственной иммунизации, так и при естественном развитии инфекции [10]. Ранее было показано, что OmpF порин НМ *Y. pseudotuberculosis* является высоко эффективным диагностическим антигеном в разработанной нами ИФА тест-системе для выявления псев-

дотуберкулеза [11]. Обнаружено, что полученные мутантные порины взаимодействуют с иммунными сыворотками экспериментальных животных и сыворотками крови больных псевдотуберкулезом в диагностическом разведении (1 : 800), хотя и проявляют активность существенно меньшую по сравнению с активностью нативного тримера (**tOmpF**) порина (рис. 8а и б).

На основании полученных результатов можно сделать следующие выводы. Отсутствие в структуре белка наружных петель **L1**, **L6**, **L8** определенным образом изменяет антигенную структуру OmpF порина НМ *Y. pseudotuberculosis*. В наибольшей степени эти изменения затрагивают конформационные детерминанты порина, формирующиеся уровне третичной и четвертичной структуры белка, поскольку заметное снижение иммунохимической активности мутантных порин было отмечено при взаимодействии с иммунными сыворотками к нативным тримерам порина. Кроме того, очевидно, в процессе “презентации” поринов НМ иерсиний клеткам иммунной системы человека и животных имеет значение не только структура вводимого антигена, но и видовая принадлежность организма-хозяина.

## ЭКСПЕРИМЕНТАЛЬНАЯ ЧАСТЬ

**Плазмиды.** В качестве матрицы для сайт-направленного мутагенеза OmpF порина использовалась плазмида pET-41(+)-m55, сконструированная на основе плазмидного вектора pET-41(+)а и содержащая ген *ompF* *Y. pseudotuberculosis*.

**Ферменты.** ДНК-полимераза Pfu Ultra II (Stratagene, США); GoTaq-ДНК-полимераза (Promega, США); рестриктазы *Nde*I, *Bam*H I и *Dpn*I (Fermentas, Литва).

**Праймеры.** Праймеры синтезированы НПО “Евроген”, Россия. Характеристики праймеров указаны в табл. 1.

**Сайт-направленный мутагенез.** ПЦР с мутагенными праймерами проводили в 25 мкл реакционной смеси, в качестве матрицы использовали плазмиду pET-41a(+)-m55. Состав смеси для ПЦР объемом 50 мкл содержал: 50 нг плазмидной ДНК; 50 нМ dNTP; 2.5 ед. полимеразы Pfu Ultra II; буфер 1× Pfu Ultra II. Смесь для ПЦР была разделена на 2 равные части: одна для добавления прямого праймера (40 пМ), другая – обратного (40 пМ). Температурный режим ПЦР включал: предварительную денатурацию плазмидной ДНК при 95°C – 2 мин (1), денатурацию ДНК при 94°C – 20 с, отжиг праймеров при 55°C – 20 с, и дестройку ДНК при 72°C – 2 мин (2). Эти стадии повторяли 10 раз, после чего содержимое пробирок объединяли, добавляли полимеразу Pfu Ultra II (в количестве, соответствующем 2.5 ед. активности) и проводили еще 18 циклов реакции при тех же условиях (ПЦР смесь). Синтез ДНК проводили при 72°C в течение 7 мин (3). После окончания реакции пробирки помещали в лед (на 2 мин), затем полученные смеси обрабатывали эндонукleaseй DpnI. Рестрикцию проводили в 50 мкл реакционной смеси, включающей: буфер для рестриктазы; 10 ед. эндонуклеазы рестрикции DpnI; 25 мкл ПЦР-смеси. Реакционную смесь инкубировали при 37°C в течение ночи, затем прогревали при 80°C в течение 20 мин. Обработанная рестриктазой смесь была использована для трансформации штамма Rosetta *E. coli*. Трансформацию компетентных клеток осуществляли методом электропорации при напряжении 1700 В в течение 5 мс на приборе Multiporator (Eppendorf, Германия). Селекцию рекомбинантных клонов проводили в присутствии канамицина (50 мкг/мл) и хлорамфеникола (34 мкг/мл).

Для идентификации делеций проводили ПЦР “на колониях”, используя полимеразу GoTaq (Promega, США) и T7-праймеры. Состав смеси для ПЦР (50 мкл): 1 мкл клеточного лизата; 50 нМ dNTP; 2.5 ед. полимеразы GoTaq; буфер 1× GoTaq, по 250 пмоль прямого и обратного праймеров. Температурный режим ПЦР включал: предварительную денатурацию ДНК при 95°C – 2 мин (1); денатурацию ДНК при 94°C – 20 с, отжиг праймеров при 55°C – 20 с, дестройку ДНК при 72°C – 1 мин (2) (п. 2 повторяли 30 раз); синтез ДНК при 72°C – 7 мин (3). Результаты реакции анализировали с помощью электрофореза в 1% агарозном геле. ПЦР-фрагменты очищали с помощью коммерческого набора DNA Extraction Kit (Fermentas, Литва) и секвенировали с помощью праймеров T7prom/T7term (табл. 1) на автоматическом ДНК-анализаторе 3130XL (Applied Biosystems, США).

**Экспрессия и выделение мутантных OmpF-поринов.** Клеточную биомассу наращивали при 37°C при интенсивном перемешивании (180 об/мин) в 20 мл среды 2× YT в присутствии канамицина (50 мкг/мл) и хлорамфеникола (34 мкг/мл) в течение 14–16 ч (ночь). Затем 3 млочной культуры переносили в 150 мл 2× YT, содержащей канамицин и хлорамфеникол, и снова инкубировали при тех же условиях. Нарашивание продолжали до тех пор, пока оптическое поглощение среды с клетками ( $A_{600}$ ) не достигала значения 0.4–0.6. После этого к суспензии добавляли 150 мкл 1М IPTG до конечной концентрации 1 мМ. Суспензию клеток инкубировали в выше указанных условиях в течение 1 ч. Затем клетки центрифугировали при 8 тыс. об/мин в течение 8 мин и отмывали дважды от питательной среды и IPTG фосфатно-солевым буфером (PBS). Полученные клетки хранили при температуре –20°C.

Для выделения ТВ клетки *E. coli*, полученные после экспрессии, осаждали центрифугированием при 5000×g в течение 5 мин, осадок (5 г) ресусцинировали в 15 мл 50 мМ Трис-HCl-буфера, содержащего 1 мМ EDTA, 100 мМ NaCl, pH 8.0 (TEN-буфер). К суспензии осадка добавляли PMSF (40 мкл из 100 мМ сток-раствора изопропаноле) и 4 мг лизоцима. Смесь перемешивали при комнатной температуре в течение 30 мин, добавляли 25 мг DOC и выдерживали ее в течение 20 мин на водяной бане при 37°C. Добавляли 30 мкл ДНКазы (сток-раствор 1 мг/мл), смесь перемешивали при комнатной температуре до тех пор, пока раствор становился вязким. Смесь центрифугировали при 12000 g в течение 20 мин при 4°C. Осадок ТВ отмывали TEN-буфером дважды, растворяли в холодном TEN-буфере, добавляли мочевину и PMSF до конечных концентраций 8 М и 0.1 мМ соответственно. Смесь озвучивали на льду при 44 Гц в течение 10 мин (в 2 этапа с интервалом 1 мин). Нерастворившийся осадок отделяли центрифугированием при 12000 g в течение 10 мин при 4°C. Осадок ТВ отмывали TEN-буфером дважды, разбавляли 16 мл 25 мМ Трис-HCl-буфера (pH 8.5), содержащего 150 мМ NaCl и 0.1% Zw. 3-14 (буфер А), выдерживали в течение ночи при комнатной температуре при перемешивании, затем центрифугировали при 10000 g, 15 мин при 4°C. Супернатант (6 мл) дилизовали против 25 мМ Трис-HCl-буфера (pH 8.5), содержащего 0.1% Zw. 3-14, в течение 4 сут при 4°C и наносили на колонку (1.5 × 40 см) с DEAE-сефарозой CL 6B. Элюирование проводили, используя линейный градиент концентрации NaCl (1 М, 70 мл) в буфере А. Наличие белка контролировали с помощью SDS-ПААГ-электрофореза. Фракции, содержащие рекомбинантный белок, объединяли, дилизовали против 20 мМ Na-цитратного буфера (pH 3.0), содержащего 0.1% Zw. 3-14 (буфер Б) и наносили на колонку (1.5 × 40 см) с

СМ-сепарозой CL 4B, элюирование проводили, используя градиент NaCl (01 М, 70 мл) в буфере Б. Наличие белка контролировали с помощью SDS-ПААГ-электрофореза. В результате были получены тримеры мутантных поринов.

**Спектроскопические методы исследования пространственной структуры поринов.** УФ-спектры регистрировали на спектрофотометре Cecil CE 7200 (Англия) в кварцевых кюветах с толщиной слоя 1 см при ширине щели 1 нм. Поправку на светорассеяние раствора белка проводили, как описано в работе [12]. Удельный коэффициент поглощения  $A^{0.1\%}/_{1\text{ см}}$  порина (1.27) был определен ранее [6].

Спектры КД регистрировали на спектрополяриметре Jasco-500A (Япония) в кварцевых кюветах с толщиной слоя 1 мм для пептидной и 1 см для ароматической областей спектра. В пептидной области спектра эллиптичность считали как эллиптичность среднего остатка, принимая среднюю молекулярную массу аминокислотного остатка равной 110 Да, в единицах град · см<sup>2</sup>/дмоль по формуле:  $[\theta] = \theta_{\text{набл}} \cdot S \cdot 110/10 \cdot c \cdot l$ , где  $S$  – чувствительность шкалы прибора,  $c$  – концентрация белка, мг/мл,  $l$  – длина оптического пути, мм. В ароматической области спектра эллиптичность считали как молярную эллиптичность  $[\theta]_M$  с молекулярной массой мономера порина, равной 40 кДа и тримера порина, равной 110 кДа. Калибровку спектрополяриметра проводили по 0.06% водному раствору *D*-камфора-10-сульфоната аммония. Отношение эллиптичностей полос при 191 и 290 нм составляло 2.05.

Спектры флуоресценции поринов измеряли на спектрофлуориметре Hitachi 850 (Япония) в кварцевых кюветах с длиной оптического пути 1 см. Возбуждение флуоресценции проводили светом с длинами волн 280 и 296 нм. Спектры флуоресценции, корректированные по родамиду В (Wako Pure Chemical Industries, Япония), регистрировали, вычитая рамановскую полосу буферного раствора. Ширина щели на монохроматорах возбуждения и излучения составляла 5 нм. Разложение экспериментальных спектров на компоненты [13] соответствующие излучению спектральных форм остатков триптофана в белке, проводили, используя программу оптимизации, основанную на методе Маркуардта [14].

**Изучение порообразующей активности белков с помощью техники БЛМ.** БЛМ формировали по методу Мюллера из раствора 1-моноолеилглицерина в *n*-гептане, как описано в работе [15]. Описание установки и методика измерения электрических параметров в БЛМ приведены в работе [8]. Образцы порина (в заданных концентрациях) добавляли в водную фазу до формирования БЛМ. Все эксперименты проводили при одинаковых стандартных условиях: 0.1 М NaCl, 10 мМ Трис-

HCl-буфер, pH 8.0 при комнатной температуре 22°C, БЛМ получали из 1%-го раствора моноолеилглицерина в *n*-гептане.

Через 30 мин после формирования БЛМ регистрировали ток через бислой при мембранным потенциале –20 или –50 мВ.

**SDS-ПААГ-электрофорез** проводили в вертикальных пластинах (9 × 12 × 1 мм) 14%-го поликариламидного геля в присутствии 0.1%-го SDS) или в градиенте плотности ПААГ по методу Лэммли [16].

**Иммунологические методы.** *Иммуноферментный анализ.* Для исследования сывороток крови применяли непрямой вариант ИФА [17], используя микропланшеты Costar (USA). В качестве антивидовых антител использовали коммерческие иммуноферментные коньюгаты производства НИИ эпидемиологии и микробиологии им. Н.Ф. Гамалеи (г. Москва). Результаты учитывали на спектрофотометре μQuant, BIO-TEK INSTRUMENTS, INC (USA) при 492 нм, в качестве хромогена применяли 0.04% раствор *ортого*-фенилендиамина.

**Иммуноблоттинг.** Для проведения иммуноблоттинга белки после электрофоретического разделения переносили с неокрашенного геля на нитроцеллюлозную мембрану с помощью прибора для полусухого переноса при силе тока 0.8 mA/cm<sup>2</sup>, в течение ночи при 4°C. Мембрану после переноса обрабатывали 5 мМ Трис-HCl-буфером (pH 10.3), содержащим 150 мМ NaCl, 2% Tween-20 (буфер В) для блокирования неспецифического связывания в течение ночи при комнатной температуре. После удаления буфера мембрану инкубировали в течение 2 ч при комнатной температуре с поликлональной кроличьей антисывороткой, разведенной в соотношении 1 : 200 буфером В, сыворотку удаляли и промывали мембрану дважды буфером, содержащим 0.05% Tween 20. Мембрану инкубировали с антителами против IgG кролика, меченными пероксидазой, разведенными в соотношении 1 : 1000 буфером для блокирования неспецифического связывания, в течение 2 ч при комнатной температуре. Мембрану промывали дважды буфером с 0.05% Tween 20 и окрашивали 10 мл 5 мМ Трис-HCl-буфера (pH 7.6), содержащего 150 мМ NaCl, 0.6 мл 0.3% раствора 4-хлор-1-нафтола в этиловом спирте и 4 мкл H<sub>2</sub>O<sub>2</sub>, в течение 20 мин при комнатной температуре. Реакцию останавливали, разбавляя раствор избытком H<sub>2</sub>O.

**Статистический анализ.** Статистическую обработку полученных результатов проводили в операционных средах Windows XP с использованием пакета прикладных программ Microsoft Excel. Достоверность результатов подтверждали, определяя стандартное отклонение ( $\sigma$ ) и стандартную ошибку (по формуле для ограниченной выборки). Достоверность различий средних величин оценива-

ли с использованием критерия Стьюдента ( $p < 0.05$ ).

Работа поддержана грантами РФФИ № 08-08-00823-а “Конструирование и исследование неспецифических порообразующих белков грамотрицательных бактерий с измененными структурно-функциональными свойствами” и ДВО РАН “Конструирование и структурно-функциональное исследование мутантных OmpF поринов наружной мембраны *Yersinia pseudotuberculosis*” по разделу “Фундаментальные исследования молодых ученых”.

#### СПИСОК ЛИТЕРАТУРЫ

1. Achouak W., Heulin T. Pages J.M. // FEMS Microbiol. Lett. 2001. V. 199. Is. 1. P. 1–7.
2. Altschul S.F., Gish W., Miller W., Myers E.W., Lipman D.J. // J. Mol. Biol. 1990. V. 215. P. 403–410.
3. Nikaido H. // Microbiol. & Mol. Biol. Rev. 2003. V. 67. P. 593–656.
4. Хоменко В.А., Портнягина О.Ю., Новикова О.Д., Исаева М.П., Ким Н.Ю., Лихатская Г.Н., Вострикова О.П., Соловьева Т.Ф. // Биоорганская химия. 2008. Т. 34. № 2. С. 1–8 (Khomenko V.A., Portnyagina O.Yu., Novikova O.D., Issaeva M.P., Kim N.Yu., Likhatskaya G.N., Vostrikova O.P., Solov'eva T.F. // Rus. J. Bioorgan. Chem. 2008. V. 34. № 2. P. 162–168.)
5. Wang W., Malcolm B. // BioTechniques. 1999. № 26. P. 680–682.
6. Новикова О.Д., Фролова Г.М., Вакорина Т.И., Тарапанова З.А., Глазунов В.П., Соловьева Т.Ф., Оводов Ю.С. // Биоорганская химия. 1989. Т. 15. № 6. С. 763–772.
7. Sreerama N., Woody R.W. // Anal. Biochem. 2000. V. 287. № 2. P. 252–260.
8. Лихатская Г.Н., Новикова О.Д., Соловьева Т.Ф., Оводов Ю.С. // Биол. мембранны. 1985. Т. 2. № 12. С. 1219–1224.
9. Basle A., Qutub R., Mehrazin M., Wibbenmeyer J., Delcour A. // Prot. Engineering, Design and Selection. 2004. V. 17. № 9. P. 665–672.
10. Портнягина О.Ю., Новикова О.Д., Вострикова О.П., Соловьева Т.Ф. // Бюлл. эксп. биол. мед. 1999. Т. 128. С. 437–440.
11. Гордеец А.В., Портнягина О.Ю., Вострикова О.П., Малашенкова В.Г., Бенирова С.Н., Новикова О.Д., Соловьева Т.Ф. // Патент РФ. № 98122085/14. 2000. № 20. С. 8.
12. Winder A.F., Gent W.L.G. // Biopolymers. 1971. V. 10. № 7. P. 1243–1251.
13. Burstein E.A., Vedenkina N.S., Ivkova M.N. // Photochem. Photobiol. 1973. № 8. P. 263–279.
14. Marquardt D.W. // J. Soc. Indust. Appl. Math. 1963. № 11. P. 431–441.
15. Mueller P., Rudin D.O., Tien H.T., Wescott W.C. // Nature. 1962. V. 194. P. 979–980.
16. Laemmli U.K. // Nature. 1970. V. 227. № 5259. P. 680–685.
17. Sandt C.H., Wang Y.-D., Wilson R.A., Hill C.W. // Infect. Immun. V. 65. № 11. P. 4572–4579.

#### *Yersinia pseudotuberculosis* Mutant OmpF Porins with Deletions of the External Loops: Genetic Constructions Design, Expression, Isolation and Refolding

O. V. Sidorova\*, M. P. Isaeva, V. A. Khomenko, O. Yu. Portnyagina, G. N. Likhatskaya, N. Yu. Kim, O. D. Novikova, D. K. Chistyulin, and T. F. Solov'eva

\*Phone: +7 (4232) 310719; fax: +7 (4232) 314050; e-mail: olga\_ximik@mail.ru

Pacific Institute of Bioorganic Chemistry, Far East Branch, Russian Academy of Science  
Prospect 100 let Vladivostoku, 159, Vladivostok, 690022 Russia

*Yersinia pseudotuberculosis* outer membrane (OM) recombinant mutant OmpF porins with deletions of the external loops L1, L6 and L8 were obtained using site-directed mutagenesis of the recombinant plasmid including *ompF* gene. Heterologous expression of the mutant proteins was carried out in strain Rosetta of *Escherichia coli* (Novagen, USA), porins with the deletions were isolated from the inclusion bodies. Mutant proteins in oligomeric form were obtained as result of dialysis and ion-exchange chromatography. Spatial structure of the mutant proteins was demonstrated to have special features in comparison with that of the full-structured OmpF porin on the level of both secondary and tertiary structure. Lacking of the loops L1, L6 and L8 didn't affect the conductivity level of *Y. pseudotuberculosis* porin channel as shown using bilayer lipid membrane (BLM) technique. Lacking of the loops mentioned above has a significant influence on the antigenic structure of the mutant porins as demonstrated with use of immunoblotting technique and ELISA.

**Keywords:** *Yersinia pseudotuberculosis*, OmpF porin, recombinant proteins, deletion of external loops.